

慶應大学大学院 学生員。松原 光宏  
慶應大学工学部 正員 大久保祐二

### 1. まえがき

構造物の設計は、技術的、経済的、社会環境的、美的などの因子によって課せらるる種々の制約条件の下で、要求される機能を充分に遂行できる最適な設計変数を決定することであり、このような設計変数の決定には、個々の部材断面の決定から構造形式の決定まで、多くの段階における数多くの意志決定が含まれる。したがってこのような設計過程に論理的な意志決定の方法を導入し、計算機により構造設計における意志決定をある程度代行させ得るような、あるいは意志決定に必要なデータを自動的に提供することが出来るような Optimizer の Subroutine Library を作成し、利用することは、構造設計を最適に行なうために不可欠な重要事項となつてゐる。本研究では、これまでに提案されてゐる数多くの非線形計画法の中で、近年その信頼性および有効性が指摘されていゝ SQP (Successive Quadratic Programming) について、基礎的研究を行なった結果について述べるものである。

### 2. SQP の概要<sup>1)</sup>

次の非線形計画問題を考える。

$$\begin{aligned} F(x) &\rightarrow \min. \\ \text{subject to } C_i(x) &\geq 0, (i=1, 2, \dots, m) \end{aligned} \quad \left. \begin{array}{l} \text{ここに, } x = [x_1, x_2, \dots, x_n]^T \\ F(x): \text{目的関数, } C_i: \text{制約条件} \end{array} \right\} \quad (1)$$

上式の SUMT の外点法における罰金関数を次のように定義する。

$$P(x_k, r_k) = F(x_k) + \frac{1}{r_k} V(x_k)^T V(x_k) \quad (2)$$

ここに、 $V(x_k)$  は  $x_k$  で違反している制約条件を表わし、 $r_k$  は罰金項の重みを表わすパラメータである。いま、点  $x_k + \$$  が  $P(x, r_k)$  の最小点であるとすれば、

$$\nabla P(x_k + \$, r_k) = f_k + \frac{2}{r_k} (V_k^T V_k + V_k^T W_k \$) = 0 \quad (3)$$

でなければならぬ。ここで、 $f_k$ 、 $W_k$  はそれぞれ  $F_k$ 、 $V_k$  の 1 次の偏微係数である。 $B_k$  を目的関数の 2 次の偏微係数であるとし、(3) 式の両辺に  $W_k B_k^{-1}$  を乘ずると、次式を得ることができる。

$$W_k \$ = -\frac{r_k}{2} \lambda_k - V_k \quad \text{ここに, } \lambda_k = (W_k B_k^{-1} W_k^T)^{-1} W_k B_k^{-1} f_k \quad (4)$$

上記の  $V_k$  は  $x_k$  および  $x_k + \$$  で違反している制約条件のみについて考慮しているが、 $x_k$  で満足しているが  $x_k + \$$  で満足しなくなる制約条件  $C_k$  を考慮することとすると、 $g_k = \begin{bmatrix} V_k \\ C_k \end{bmatrix}$  とし、 $A_k$  と  $g_k$  の 1 次の偏微係数とし、(4) 式と同様に次式が導入できる。

$$A_k \$ = -\frac{r_k}{2} \lambda'_k - g_k \quad \text{ここに, } \lambda'_k = (A_k B_k^{-1} A_k^T)^{-1} A_k B_k^{-1} f_k \quad (5)$$

そこで、目的関数  $F$  を  $x_k$  の近傍で 2 次形式に近似し、かつ(5)式の制約条件を考慮すると、次の \$ に関する 2 次計画問題が導入できる。

$$\begin{aligned} \min. \quad f_k^T \$ + \frac{1}{2} \$^T B_k \$ \\ \text{subject to } A_k \$ = -\frac{r_k}{2} \lambda'_k - g_k \end{aligned} \quad \left. \begin{array}{l} \text{ここに, } \lambda'_k = (A_k B_k^{-1} A_k^T)^{-1} A_k B_k^{-1} f_k \\ \text{A_k, g_k は (4) 式の A_k, g_k} \end{array} \right\} \quad (6)$$

この 2 次計画問題の解  $\$_k$  は、2 次計画法により次式で決定される。

$$\$_k = B_k^{-1} \{ A_k^T (A_k B_k^{-1} A_k^T)^{-1} (A_k B_k^{-1} f_k - \frac{r_k}{2} \lambda'_k - g_k) - f_k \} \quad (7)$$

しかし、 $B_k$  の不正確さや制約条件  $g_k$  の線形近似などの誤差により、(7)式より得られる  $\$_k$  は必ずしも  $x_k$  を改良するとは限らない。そこで、確実に罰金関数  $P(x, r_k)$  を減少させる改良点  $x_{k+1}$  を  $\$_k$  の方向に line search により、 $x_{k+1} = x_k + \alpha \$_k$  として求める。また、上記の processにおいて、目的関数の 2 次の偏微係数の逆行列  $B_k^{-1}$  は直接求めると計算量が多くなるので、次のように BFGS 公式または DFP 公式により求めている。ここで、 $y_k = f_{k+1} - f_k$ 、 $z_k = B_k^{-1} y_k$  とする。

$$B_{k+1}^{-1} = B_k^{-1} - \frac{\$_k \$_k^T}{\$_k^T y_k} - \frac{Z_k Z_k^T}{\$_k^T y_k} + (\alpha + \frac{\$_k^T Z_k}{\$_k^T y_k}) \frac{\$_k \$_k^T}{\$_k^T y_k}, \quad \text{if } \$_k^T y_k \geq y_k^T Z_k \quad (8)$$

$$B_{k+1}^{-1} = B_k^{-1} - \frac{Z_k Z_k^T}{Y_k^T Y_k} + \alpha \frac{S_k S_k^T}{S_k^T Y_k}, \quad \text{if } S_k^T Y_k < Y_k^T Z_k \quad (9)$$

また、罰金項の重み  $\gamma_k$  は、次式より求め、最適解に近くにいたがい、 $\gamma_k$  は自動的に 0 に近づく。

$$\gamma_k = -\beta \frac{2 V_k^T V_k}{V_k^T X_k} \quad \text{ここで, } 0 < \beta < 1 \quad (10)$$

### 3. 計算例 および 考察

上記の SQP により 図-1 に示す不静定トラスの最小重量設計を行なった例について述べる。式(6)に示すごとく SQP では目的関数を 2 次近似しているので、設計変数の 2 次以上の関数でなければならぬ。そこで、ここでは各部材断面  $A$  を図-2 に示す正方形面と考え、その一边  $D$  を設計変数とした。

$$\text{目的関数 } F = P \sum_i A_i l_i = P \sum_i D_i^2 l_i, \quad l_i : \text{部材長}$$

表-1

$$\begin{aligned} \text{制約条件} \quad & \left\{ \begin{array}{l} g_1 = \sigma_{ai} - \sigma_i \geq 0 \quad (i=1, \dots, 6) \\ g_7 = \delta_a - \delta \geq 0 \end{array} \right. \quad \left\{ \begin{array}{l} \sigma_{ai} = 1400 \text{ MPa} \\ \sigma_a = 1237 \text{ MPa} \end{array} \right. \\ & P = 1 \text{ kN/cm}^2, \quad E = 2.1 \times 10^6 \text{ MPa} \end{aligned}$$

格点 3 の垂直変位を  $\delta$  とし、種々のたわみ許容値  $\delta_a$  における初期値と最適値を表-1 に示す。表-1 の結果から明らかなように応力制限のみが active な制約条件の場合には、いかなる初期値からでも全局的な最適解に収束している。また、 $\delta_a = 0.25 \text{ cm}$

および  $0.20 \text{ cm}$  などのように、部材の一部またはすべてがたわみ制限により決定される場合には、初期値により最適断面積は多少異なるが、目的関数値はまったく同一の値を得ており、SQP は信頼性のある Optimizer であるということが言えよう。また、 $\delta_a = 0.30 \text{ cm}$  の場合に比べ、 $\delta_a = 0.25 \text{ cm}$  および  $0.20 \text{ cm}$  の場合、最適解を得るために反復回数が増加しているのは、たわみ制限の曲面上に最適解が存在し、最適解の近くで解が振動するためであり、最適解に収束させたためには、SLP と同様に adaptive move limit の条件を必要とした。

部材 No.	$\delta_a = 0.30 \text{ cm}$				$\delta_a = 0.25 \text{ cm}$				$\delta_a = 0.20 \text{ cm}$			
	初期	最適	初期	最適	初期	最適	初期	最適	初期	最適	初期	最適
1	10.0	5.0	11.0	6.0	10.0	5.0	10.0	5.0	10.0	5.0	10.0	5.0
2	10.0	5.0	7.0	15.0	10.0	5.0	10.0	5.0	10.0	5.0	10.0	5.0
3	10.0	5.0	15.0	7.0	10.0	5.0	10.0	5.0	10.0	5.0	10.0	5.0
4	10.0	5.0	9.0	14.0	10.0	5.0	10.0	5.0	10.0	5.0	10.0	5.0
5	10.0	5.0	13.0	10.0	10.0	5.0	10.0	5.0	10.0	5.0	10.0	5.0
6	10.0	5.0	5.0	5.0	10.0	5.0	10.0	5.0	10.0	5.0	10.0	5.0
最 小 重 量 (kg)	6091.8	6088.1	6091.2	6090.5	6113.5	6114.2	6063.5					
反復回数	12	12	14	13	17	14	19					

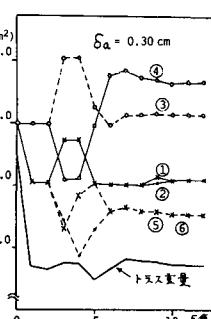


図-3 収束状況

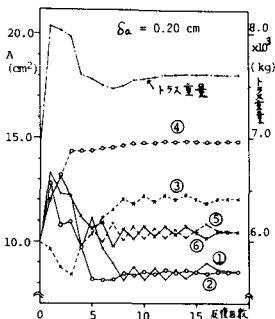


図-4 収束状況

### 4. SQP の特徴

これまでの研究により、SQP の計算アルゴリズムの特徴をまとめると次のようになる。

- 違反している制約条件のみを考慮すればよいので、 $\lambda$  スペースの次元は小さくなり、問題を単純化している。しかし、厳密には、最適解のみがすべての制約条件を満足することとなり、改良過程における解は設計に使用することができない。この点で SUMT の円点法と対照的である。また、実行可能領域内からは目的関数のみに着目し、準ニュートン法により設計変数を改良している。
- 罰金パラメータ  $\gamma_k$ ,  $\lambda_k$ ,  $S_k$  などが簡単な計算式により直接決定できるので、アルゴリズムがきわめて簡単となり、かつ、信頼性もよい。
- SLP と同様に、設計変数が最適解から大きくなっている場合には、制約条件の線形近似的精度が悪く、極端な改良を行なうことがある。また、たわみ制限などの曲面上に最適解が存在する場合には、その近傍で解が振動する。従って、解を順調に最適解に収束させたためには、SLP と同様に adaptive move limit の制約を考慮する必要がある。

参考文献 1) M.C. Biggs : Constrained minimisation using recursive equality quadratic programming : in 'Numerical methods for nonlinear optimisation', (ed. F.A. Lootsma) Academic Press (1972) 2) R.Fletcher : A general quadratic programming algorithm : J. Inst. Maths. Appl. 7, (1971)

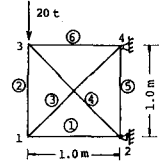


図-1



図-2